

Характер частотной зависимости амплитуды смещения доменной границы в поле звуковой волны

© В.С. Герасимчук, А.А. Шитов*

Донецкий национальный технический университет,
83000 Донецк, Украина

* Донбасская государственная академия строительства и архитектуры,
86123 Макеевка, Донецкая обл., Украина

E-mail: vme@dgasa.dn.ua

(Поступила в Редакцию в окончательном виде 17 января 2005 г.)

Исследована скорость колебательного движения доменных границ как функция параметров магнетика и внешнего звукового поля. Получена зависимость амплитуды смещения доменных границ при колебательном движении от частоты внешней звуковой волны. Установлено, что указанная зависимость имеет резонансный характер.

В последнее время магнитные вещества находят широкое применение в технике. Развитие одного из перспективных приложений магнитных материалов связано с использованием магнитных доменов в качестве носителей при передаче и записи информации в вычислительной технике [1,2]. В пленках и объемных материалах с доменной структурой основным процессом перемагничивания является движение доменных границ (ДГ). Именно скорость движения ДГ напрямую лимитирует быстродействие электронно-вычислительных машин, использующих микродомены в качестве носителей информации.

В настоящее время наиболее изучено влияние магнитного поля на динамику ДГ. Воздействуя постоянным или переменным магнитным полем, можно вызвать движение ДГ [1–5]. Экспериментально динамика ДГ в магнитном поле исследована в [5–7]. Определена амплитуда смещения ДГ в зависимости от величины внешнего магнитного поля в слабых ферромагнетиках [5,6] и иттриевом феррите-гранате [7]. Теоретическое описание колебательного движения ДГ проведено в [8], где найдена зависимость скорости движения ДГ в слабых ферромагнетиках от величины и частоты магнитного поля. Динамика ДГ в двухподрешеточных ферритах в переменном магнитном поле изучена в [9]. Исследованию динамики ДГ в области низких частот (0.1–10 kHz) посвящен обзор [10].

Помимо магнитного поля на доменную структуру магнетика можно воздействовать звуковым полем. Исследования взаимодействия упругих волн с доменной структурой представляются полезными в связи с поисками новых способов управления магнитными носителями, а также для анализа условий работоспособности магнитных запоминающих устройств и для разработки электронных элементов на основе поверхностных акустических волн. Под действием звуковой волны ДГ может совершать колебательное и дрейфовое движение [11–16]. Указанные эффекты наблюдались экспериментально в иттриевом феррите-гранате [17,18] и борате железа [19].

В настоящей работе в рамках лагранжева формализма рассматривается колебательное движение ДГ в двухподрешеточных ферритах-гранатах.

1. Модель и уравнения движения

Динамику феррита-граната с двумя неэквивалентными подрешетками в поле звуковой волны будем описывать на основе плотности функции Лагранжа L , представленной в терминах единичного вектора антиферромагнетизма \mathbf{l} [20]. При описании динамики ДГ удобнее перейти к сферической системе координат, параметризуя вектор \mathbf{l} угловыми переменными θ и φ

$$l_z + il_x = \sin \theta \exp(i\varphi), \quad l_y = \cos \theta. \quad (1)$$

Плотность функции Лагранжа ферритмагнетика в угловых переменных имеет вид

$$\begin{aligned} L(\theta, \varphi) = & M_0^2 \left[\frac{\alpha}{2c^2} [(\dot{\theta})^2 + (\dot{\varphi})^2 \sin^2 \theta] \right. \\ & - \frac{\alpha}{2} [(\nabla\theta)^2 + (\nabla\varphi)^2 \sin^2 \theta] - \frac{\beta_1}{2} \sin^2 \theta \sin^2 \varphi - \frac{\beta_2}{2} \cos^2 \theta \\ & - B_1 [(u_{xx} \sin^2 \varphi + u_{zz} \cos^2 \varphi) \sin^2 \theta + u_{yy} \cos^2 \theta] \\ & + B_2 [\sin 2\theta (u_{zy} \cos \varphi + u_{yx} \sin \varphi) + u_{xz} \sin 2\varphi \sin^2 \theta] \\ & + \frac{\rho}{2} (\dot{\mathbf{u}})^2 + \frac{\nu}{gM_0} \dot{\varphi} (1 - \cos \theta) - \frac{c_{11}}{2} (u_{xx}^2 + u_{yy}^2 + u_{zz}^2) \\ & \left. - c_{12} (u_{xx} u_{yy} + u_{xx} u_{zz} + u_{yy} u_{zz}) - 2c_{44} (u_{xz}^2 + u_{xy}^2 + u_{yz}^2) \right], \quad (2) \end{aligned}$$

где точка обозначает производную по времени t ; M_0 — модуль векторов намагниченности подрешеток, $c = gM_0 \sqrt{\alpha\delta}/2$ — минимальная фазовая скорость спиновых волн, δ и α — соответственно постоянные однородного и неоднородного обменного взаимодействия, g — гиромагнитное отношение, которое мы считаем одинаковым для каждой из подрешеток, β_1 и β_2 — эффективные константы ромбической анизотропии, ρ — плотность вещества, \mathbf{u} — вектор смещений, u_{ik} — тензор упругих деформаций, c_{ij} —

тензор модулей упругости четвертого ранга, записанный в матричных обозначениях ($c_{11} = c_{xxxx}$, $c_{12} = c_{xxyy}$, $c_{44} = c_{yzyz}$); B_1 и B_2 определяются через тензоры магнитоупругих постоянных $B_1 = b_{11} - b_{12} = b_{xxxx} - b_{xxyy}$, $B_2 = b_{44} = b_{yzyz}$.

Параметр ν определяет границы рассмотрения феррита как эффективного ферромагнетика с суммарной намагниченностью $M_S = \sum_i M_i$, где M_i — намагниченности подрешеток. Модель эффективного ферромагнетика адекватна в том случае, если длина векторов намагниченностей подрешеток существенно различаются, т.е. суммарная намагниченность феррита достаточна велика [20]

$$\nu = \frac{|M_1 - M_2|}{|M_{1,2}|} \gg \left(\frac{\beta}{\delta}\right)^{1/2}. \quad (3)$$

Это стандартное приближение, используемое при интерпретации экспериментов по динамике нелинейных возбуждений в ферритах. В дальнейшем мы рассматриваем ферриты-гранаты с двумя неэквивалентными подрешетками, величины намагниченностей которых различаются незначительно. Для иттриевого феррита-граната, для которого в дальнейшем проведены оценки, $\nu < \left(\frac{\beta}{\delta}\right)^{1/2}$. Представление феррита как эффективного ферромагнетика в этом случае использовать нельзя.

Динамическое торможение ДГ, обусловленное диссипативными процессами магнитного происхождения, будем учитывать с помощью диссипативной функции F

$$F = \frac{\lambda M_0}{2g} \dot{\mathbf{i}}^2 = \frac{\lambda M_0}{2g} (\dot{\theta}^2 + \dot{\varphi}^2 \sin^2 \theta), \quad (4)$$

где λ — константа затухания Гильберта. Полагаем, что затухание в упругой подсистеме мало и им можно пренебречь.

Будем считать длину упругой волны много большей ширины ДГ. Ограничимся также рассмотрением случая изотропной магнитоупругой модели $\gamma = B_1 = B_2$.

В рамках этих приближений уравнения, описывающие динамику намагниченности с учетом релаксационных слагаемых, а также уравнения эластодинамики принимают вид

$$\begin{aligned} & \alpha \left(\Delta \theta - \frac{1}{c^2} \ddot{\theta} \right) + \sin \theta \cos \theta \\ & \times \left[\alpha \left(\frac{1}{c^2} (\dot{\varphi})^2 - (\nabla \varphi)^2 \right) - \beta_1 \sin^2 \varphi + \beta_2 \right] + \frac{\nu}{g M_0} \dot{\varphi} \sin \theta \\ & - \gamma \left[\sin 2\theta (u_{zz} \cos^2 \varphi + u_{xz} \sin 2\varphi + u_{xx} \sin^2 \varphi - u_{yy}) \right] \\ & + 2 \cos 2\theta (u_{zy} \cos \varphi + u_{yx} \sin \varphi) \Big] = \frac{\lambda}{g M_0} \dot{\theta}, \end{aligned} \quad (5)$$

$$\begin{aligned} & \alpha \nabla \left((\nabla \varphi) \sin^2 \theta \right) - \frac{\alpha}{c^2} \frac{d}{dt} (\dot{\varphi} \sin^2 \theta) - \beta_1 \sin^2 \theta \sin \varphi \cos \varphi \\ & + \gamma \left[\sin^2 \theta (u_{zz} \sin 2\varphi - 2u_{xz} \cos 2\varphi - u_{xx} \sin 2\varphi) \right. \\ & \left. + \sin 2\theta (u_{zy} \sin \varphi - u_{yx} \cos \varphi) \right] \\ & - \frac{\nu}{g M_0} \dot{\theta} \sin \theta = \frac{\lambda}{g M_0} \dot{\varphi} \sin^2 \theta, \end{aligned} \quad (6)$$

$$\rho \frac{\partial^2 u_i^{(i)}}{\partial t^2} = \frac{\partial \sigma_{ik}^{(i)}}{\partial x_k} + f_i^{(e)}, \quad (7)$$

где $\sigma_{ik}^{(i)}$ — компонента тензора внутренних напряжений, $f_i^{(e)}$ — внешняя сила, т.е. внешняя звуковая волна. Полагаем, что деформация, обусловленная звуком ($\sim k_y u_0$, где k_y — волновой вектор, u_0 — амплитуда смещения в упругой волне), превышает стрикционную деформацию ($\sim B_k/c_{ij}$, $k = 1, 2$).

Решения уравнений (5), (6) будем искать по теории возмущений, базирующейся на введении неявной коллективной координаты [9,15,16]. В качестве нулевого приближения используем равновесное распределение намагниченности

$$\cos \varphi_0(y) = -\text{th} \frac{y}{y_0}, \quad (8)$$

где $y_0 = \sqrt{\alpha/\beta_1}$ имеет смысл толщины ДГ. Рассмотрим монохроматическую звуковую волну с частотой ω , распространяющуюся перпендикулярно плоскости ДГ, с вектором смещений $\mathbf{u} = \text{Re} \{ \mathbf{u}_0 \exp[i(k_y y - \omega t)] \}$. Для анализа движения ДГ в поле упругих напряжений, создаваемых звуковой волной, воспользуемся схемой теории возмущений для солитонов с введением коллективной переменной. Введем коллективную переменную $Y(t)$ как координату центра ДГ, производная от которой определяет мгновенную скорость ДГ $V(t) = \dot{Y}(t)$. Считая амплитуду звуковой волны малым параметром, представим функции $\theta(y, t)$, $\varphi(y, t)$ и $V(t)$ в виде рядов по степеням амплитуды

$$\begin{cases} \theta(\xi, t) = \frac{\pi}{2} + \theta_1(\xi, t) + \theta_2(\xi, t) + \dots, \\ \varphi(\xi, t) = \varphi_0(\xi) + \varphi_1(\xi, t) + \varphi_2(\xi, t) + \dots, \\ V = V_1(t) + V_2(t) + \dots, \end{cases} \quad (9)$$

где $\xi = y - Y(t)$. Индексы $n = 1, 2, \dots$ указывают на порядок малости величины относительно амплитуды звуковой волны, функция $\varphi_0(\xi)$, описывающая движение неискаженной ДГ, имеет структуру, аналогичную статическому решению (8). Функции высших порядков $\theta_n(\xi, t)$ и $\varphi_n(\xi, t)$ ($n = 1, 2, \dots$) описывают искажение формы ДГ.

Уравнения первого порядка теории возмущений получаются после подстановки разложения (9) в (5), (6) и выделения в этих уравнениях членов первого порядка

по амплитуде звуковой волны

$$\begin{aligned} & \left(\hat{L} + \frac{1}{\omega_1^2} \frac{\partial^2}{\partial t^2} + \frac{\omega_r}{\omega_1^2} \frac{\partial}{\partial t} \right) \varphi_1(\xi, t) + \frac{\omega_v}{\omega_1^2} \frac{\partial}{\partial t} \theta_1(\xi, t) \\ &= -\frac{\gamma}{\beta_1} \left[(u_{zz} - u_{xx}) \sin 2\varphi_0(\xi) - 2u_{xz} \cos 2\varphi_0(\xi) \right] \\ &+ \frac{\sin \varphi_0(\xi)}{y_0 \omega_1^2} \left(\frac{\partial^2 Y_1}{\partial t^2} + \omega_r \frac{\partial Y_1}{\partial t} \right), \end{aligned} \quad (10)$$

$$\begin{aligned} & \left(\hat{L} + \sigma + \frac{1}{\omega_1^2} \frac{\partial^2}{\partial t^2} + \frac{\omega_r}{\omega_1^2} \frac{\partial}{\partial t} \right) \theta_1(\xi, t) \\ & - \frac{\omega_v}{\omega_1^2} \frac{\partial}{\partial t} \varphi_1(\xi, t) = -\frac{\omega_v}{y_0 \omega_1^2} \frac{\partial Y_1}{\partial t} \sin \varphi_0(\xi) \\ & - \frac{2\gamma}{\beta_1} \left[(u_{zy} \cos \varphi_0(\xi) + u_{xy} \sin \varphi_0(\xi)) \right], \end{aligned} \quad (11)$$

где приняты следующие обозначения: $\sigma = (\beta_2 - \beta_1)/\beta_1$, $\omega_1 = c/y_0 = gM_0\sqrt{\beta_1\delta}/2$ — частота активации нижней ветви объемных спиновых волн, $\omega_v = v\delta gM_0/4$, $\omega_r = \lambda\delta gM_0/4$ — характерная релаксационная частота.

Оператор \hat{L} имеет вид оператора Шредингера с безотражательным потенциалом

$$\hat{L} = -y_0^2 \frac{d^2}{d\xi^2} + 1 - \frac{2}{\text{ch}^2(\xi/y_0)}. \quad (12)$$

Спектр и волновые функции оператора \hat{L} (12) хорошо известны. Он имеет один дискретный уровень с собственным значением $\lambda_0 = 0$, которому отвечает локализованная волновая функция

$$f_0(\xi) = \frac{1}{\sqrt{2y_0}} \text{ch}^{-1} \frac{\xi}{y_0}, \quad (13)$$

и непрерывный спектр $\lambda_p = 1 + p^2 y_0^2$, которому соответствуют собственные функции

$$f_p(\xi) = \frac{1}{b_p \sqrt{L}} \left(\text{th} \frac{\xi}{y_0} - ipy_0 \right) \exp(ip\xi), \quad (14)$$

где $b_p = \sqrt{1 + p^2 y_0^2}$, L — длина кристалла.

Собственные функции $f_0(\xi)$ и $f_p(\xi)$ образуют полный ортонормированный набор функций. Следовательно, решение системы уравнений первого приближения теории возмущений (10), (11) естественно искать в виде разложения по полному набору собственных функций $\{f_0(\xi), f_p(\xi)\}$:

$$\theta_1(\xi, t) = \text{Re} \left\{ \sum_p [c_p f_p(\xi) + c_0 f_0(\xi)] \exp[i(k_y Y - \omega t)] \right\}, \quad (15)$$

$$\varphi_1(\xi, t) = \text{Re} \left\{ \sum_p [d_p f_p(\xi) + d_0 f_0(\xi)] \exp[i(k_y Y - \omega t)] \right\}. \quad (16)$$

При трансляции ДГ в двух различных положениях образца она обладает одинаковой энергией. Распределение намагниченности в пространстве для ДГ описывается соотношением (8) для угловой переменной φ . Следовательно, в разложении (16) слагаемое, описывающее внутриграницные колебания (с коэффициентом d_0), соответствует голдстоуновской моде. Наличие этой моды может привести к расходимости [21]. Чтобы этого не произошло, мы, следуя методу неявной коллективной координаты, должны опустить указанную моду в разложении (16) [21] (т.е. положить $d_0 = 0$).

Из условия обращения в нуль коэффициента при сдвиговой моде получим уравнение для определения скорости ДГ в линейном по полю приближении

$$\begin{aligned} \dot{V}_1(t) + \left(\omega_r - \frac{i\omega_v q_3}{\sigma - q} \right) V_1(t) &= \frac{\pi\gamma(ky_0)^2 \omega \omega_v}{2\beta_1(\sigma - q)} \\ &\times \left[\frac{i u_{0z}}{\text{ch}\left(\frac{\pi ky_0}{2}\right)} - \frac{u_{0x}}{\text{sh}\left(\frac{\pi ky_0}{2}\right)} \right] \exp[i(kY - \omega t)], \end{aligned} \quad (17)$$

где $k = k_y$, $q = q_1 + iq_2$, $q_1 = (\omega/\omega_1)^2$, $q_2 = (\omega\omega_r)/\omega_1^2$, $q_3 = (\omega\omega_v)/\omega_1^2$, u_{0i} — i -я компонента амплитуды вектора смещений упругой среды.

Решение этого уравнения может быть представлено в виде

$$\begin{aligned} V_1(t) &= \frac{\pi\gamma(ky_0)^2 \omega \omega_v}{2\beta_1(\sigma - q) \left(\omega_r - i\omega - \frac{iq_3 \omega_v}{\sigma - q} \right)} \\ &\times \left[\frac{i u_{0z}}{\text{ch}\left(\frac{\pi ky_0}{2}\right)} - \frac{u_{0x}}{\text{sh}\left(\frac{\pi ky_0}{2}\right)} \right] \exp[i(kY - \omega t)]. \end{aligned} \quad (18)$$

При выводе соотношения (18) предполагалось, что нас интересуют только вынужденные колебания, а затухающими собственными колебаниями через достаточно большой промежуток времени $t \gg 1/\omega_r$ можно пренебречь.

2. Обсуждение результатов

Решение уравнений движения первого порядка теории возмущений описывает колебательное движение ДГ со скоростью V_1 . Экспериментально измеряемой величиной является амплитуда колебаний ДГ $h_0 = \text{Re} \left\{ \frac{iV_1}{\omega \exp[i(kY - \omega t)]} \right\}$. Найдено, что в поле упругих напряжений, создаваемых звуковой волной, распространяющейся перпендикулярно плоскости ДГ в феррите, амплитуда колебаний равна

$$\begin{aligned} h_0 &= \text{Re} \left(\frac{i\pi\gamma(ky_0)^2 \omega_v}{2\beta_1(\sigma - q) \left(\omega_r - i\omega - \frac{iq_3 \omega_v}{\sigma - q} \right)} \right. \\ &\times \left. \left[\frac{i u_{0z}}{\text{ch}\left(\frac{\pi ky_0}{2}\right)} - \frac{u_{0x}}{\text{sh}\left(\frac{\pi ky_0}{2}\right)} \right] \right). \end{aligned} \quad (19)$$

В экспериментальных работах Власко-Власова и Тихомирова [17,18] тензор деформаций ku_{0i} предполагается заданным параметром упругой волны. При анализе выражения (19) мы также считаем $ku_{0i} \propto \omega$ заданным параметром упругой волны порядка 10^{-5} .

В длинноволновом приближении ($ky_0 \ll 1$) для ферритов-гранатов справедливы следующие соотношения: $q_1 \ll 1$, $(\omega_r^2 + \omega_v^2 - \omega^2)/\omega_1^2 \ll 1$. В этом случае зависимость амплитуды смещения ДГ от частоты принимает вид

$$h_0(\omega) = \frac{\pi(\gamma M_0^2)y_0^2\omega_v}{2\beta_1\sigma M_0^2s} \left[ku_{0z}\omega_r - ku_{0x} \frac{2s}{\pi y_0} \right] \frac{\omega}{\omega^2 + \omega_r^2} \sim \frac{\omega}{1 + (\omega/\omega_r)^2}, \quad (20)$$

где s — скорость распространения упругих деформаций, создаваемых звуковой волной.

Зависимость амплитуды смещения ДГ от частоты для иттриевого феррита-граната приведена на рис. 1. Полученная зависимость имеет ярко выраженный резонанс на частоте ω_r . Аналогичную зависимость амплитуды колебаний имеет нелинейный осциллятор, находящийся в среде с затуханием и под действием внешней периодической силы [22]. Несимметричность частотной зависимости амплитуды колебаний относительно экстремума связана с существованием внешней силы, которая приводит к деформации кривой. Зависимость, аналогичная приведенной на рис. 1, получена в нашей работе [15], где исследована динамика ДГ в поле упругих напряжений, создаваемых звуковой волной, распространяющейся в плоскости ДГ. При этом характер зависимости амплитуды смещения от частоты не анализировался.

Для дальнейшего анализа полученной зависимости амплитуды колебаний ДГ укажем на важное обстоятельство, связанное с решением уравнения движения ДГ в малых переменных магнитных полях, изменяющихся периодически. Известно [23,24], что, если частота ферромагнитного резонанса много больше релаксационной частоты (что справедливо для рассматриваемых классов магнетиков), амплитуда колебаний ДГ имеет релаксационный спад, описываемый формулой $h_0 = \frac{\text{const}}{1 + (\omega/\omega_r)^2}$, где const — постоянная, не зависящая от частоты.

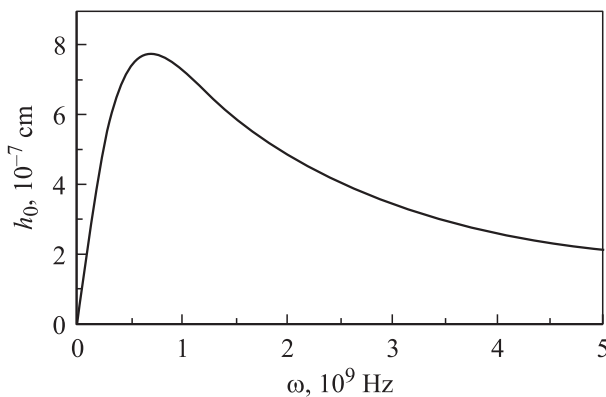


Рис. 1. Зависимость амплитуды смещения ДГ h_0 от частоты ω звуковой волны в $Y_3Fe_5O_{12}$.

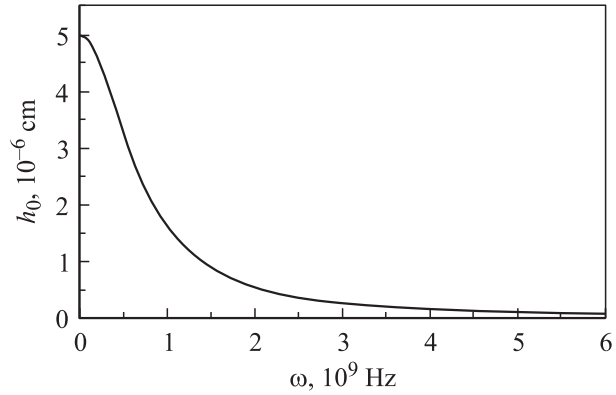


Рис. 2. Зависимость амплитуды смещения ДГ h_0 от частоты ω магнитного поля в $Y_3Fe_5O_{12}$.

Аналогичный релаксационный спад в поведении амплитуды колебаний ДГ в магнитном поле в рамках рассмотренной модели феррита имеет место в [9]. Данная зависимость для иттриевого феррита-граната приведена на рис. 2.

Наличие максимума в зависимости амплитуды колебаний ДГ установлено для магнетиков, находящихся в поле звуковой волны. Особенность эффекта связана с тем, что на ДГ не действует возвращающая сила, так как в используемом приближении имеет место трансляционная инвариантность ДГ. Проявление резонансного характера амплитуды колебаний ДГ обосновывается линейной зависимостью компонент тензора деформации от частоты звуковой волны. Действительно, поскольку тензор деформаций $u_{ij} \sim k_i u_j \sim \omega u_j$, в зависимости амплитуды колебаний ДГ от частоты в числителе появится множитель, пропорциональный ω , что и приводит к появлению максимума на релаксационной частоте.

Используя следующие параметры иттриевого феррита-граната $Y_3Fe_5O_{12}$ [25]: $y_0 \approx 10^{-5}$ см, $\beta_1 \approx 0.6$, $\sigma \sim 1$, $\lambda \sim 10^{-4}$, $M_0 = 140$ Ое, $\nu \approx 5 \cdot 10^{-3}$, $g = 1.76 \cdot 10^7$ (с·Ое) $^{-1}$, $\omega_r = 7 \cdot 10^8$ с $^{-1}$, $\omega_1 \sim 10^{11}$ с $^{-1}$, $ku_{0i} \sim 10^{-5}$, $\gamma M_0^2 \approx 3.5 \cdot 10^6$ эрг/см 3 , $s \sim 10^5$ см/с, можно проанализировать зависимость амплитуды колебаний ДГ от частоты. В иттриевом феррите-гранате вблизи резонансной частоты ω_r величина амплитуды смещения достигает максимального значения $0.8 \cdot 10^{-6}$ см, что соизмеримо с толщиной ДГ.

Сравним эту величину с другими значениями амплитуды колебаний. В иттриевом ортоферрите $YFeO_3$ в переменном магнитном поле среднее значение абсолютной величины смещения на частоте $\omega = 7 \cdot 10^8$ с $^{-1}$ достигает значения $5 \cdot 10^{-6}$ см [8]. При этом колебания ДГ возбуждаются компонентами магнитного поля, ориентированными вдоль оси легкого намагничивания. В феррите-гранате под действием осциллирующего магнитного поля [9] колебания ДГ инициируются y - и z -компонентами поля, ориентированными вдоль трудной и легкой осей соответственно. Амплитуда колебаний на частоте ω_r составляет 10^{-4} см для z -компоненты магнитного поля и 10^{-5} см для y -компоненты.

Список литературы

- [1] A. Hubert, R. Schöfer. *Magnetic domains. The analysis of magnetic microstructures*. Berlin–Heidelberg, Springer-Verlag (1998). 698 p.
- [2] В.Г. Барьяхтар, Ю.И. Горобец. *Цилиндрические магнитные домены и их решетки*. Наук. думка, Киев (1988). 167 с.
- [3] А.М. Косевич, Б.А. Иванов, А.С. Ковалев. *Нелинейные волны намагниченности. Динамические и топологические солитоны*. Наук. думка, Киев (1983). 192 с.
- [4] L.P. Walker. *Magnetism*. Vo. III / Ed. G. Rado. Acad. Press, N.J. (1963). 400 p.
- [5] В.Г. Барьяхтар, Б.А. Иванов, М.В. Четкин. *УФН* **146**, 3, 417 (1985).
- [6] П.Д. Ким, Д.Ч. Хван. *ФТТ* **24**, 8, 2300 (1982).
- [7] Л.М. Дедух, Ю.П. Кабанов. *ЖЭТФ* **115**, 4, 1377 (1999).
- [8] В.Г. Барьяхтар, Б.А. Иванов, П.Д. Ким, А.Л. Сукстанский, Д.Ч. Хван. *Письма в ЖЭТФ* **37**, 1, 35 (1983).
- [9] V.S. Gerasimchuk, A.L. Sukstanskii. *J. Magn. Magn. Mater.* **146**, 323 (1995).
- [10] Г.С. Кандаурова. *УФН* **172**, 10, 1164 (2002).
- [11] В.Г. Барьяхтар, Б.А. Иванов. *ФММ* **39**, 4, 478 (1975).
- [12] А.А. Луговой, Е.А. Туров. *ФТТ* **24**, 4, 1145 (1982).
- [13] С.И. Денисов. *ФТТ* **31**, 11, 270 (1989).
- [14] Ю.И. Горобец, С.И. Денисов. *УФЖ* **35**, 2, 271 (1990).
- [15] В.С. Герасимчук, А.А. Шитов. *ФТТ* **43**, 10, 1849 (2001).
- [16] В.С. Герасимчук, А.А. Шитов. *ФТТ* **45**, 1, 119 (2003).
- [17] В.К. Власко-Власов, О.А. Тихомиров. *ФТТ* **32**, 6, 1678 (1990).
- [18] В.К. Власко-Власов, О.А. Тихомиров. *ФТТ* **33**, 12, 3498 (1991).
- [19] М.В. Четкин, В.В. Лыков, А.А. Маковозова, А.Г. Белоногов. *ФТТ* **33**, 1, 307 (1991).
- [20] Б.А. Иванов, А.Л. Сукстанский. *ЖЭТФ* **84**, 1, 370 (1983).
- [21] Р. Раджарамам. *Солитоны и инстантоны в квантовой теории поля*. Мир, М. (1985). 408 с.
- [22] Л.Д. Ландау, Е.М. Лифшиц. *Механика*, Наука, М. (1988). 216 с.
- [23] А.Г. Гуревич. *Магнитный резонанс в ферритах и антиферромагнетиках*. Наука, М. (1973). 592 с.
- [24] Г.С. Кринчик. *Физика магнитных явлений*. Изд-во МГУ, М. (1985). 336 с.
- [25] С. Крупичка. *Физика ферритов и родственных им окислов*. Мир, М. (1976). 504 с.